

журнал для професіоналів та аматорів

Радіосхема

НОВИНИ ГАЛУЗІ



№1 / 2010
січень-лютий

МІКРОСХЕМИ І КОМПОНЕНТИ



СХЕМОТЕХНІКА

Блок живлення ± 12 В з цифровим керуванням

Преобразователь длительности импульса в постоянное напряжение

Защита от переполюсации питания для мощных устройств

Умножитель частоты

Омметр на ОУ

Применение ОУ в качестве источника тока или нагрузки

Автомобильный плейер

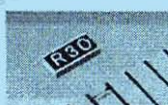
Двухконтурная охранная система

LCF-измеритель на микроконтроллере

Биоэлектронный прилад ParaZapper

Измерение параметров кабелей радаром TDR

Барометр



ОСНОВИ ЕЛЕКТРОНІКИ

ВЧ навантажувальні резистори Bourns	2
Maxim представляє сімейство цифрових потенціометрів з низькою напругою живлення	2
Нові потужні білі світлодіоди Vishay у корпусі PLCC-4 під автомобільний стандарт AEC-Q101	3
Новий ГМР-датчик кута TLE5012 Infineon Technologies	3

СХЕМОТЕХНІКА

Преобразователь длительности импульса в постоянное напряжение	4
Защита от переполюсации питания для мощных устройств	6
Неинвертирующий интегратор	7
Блок живлення ±12 В з цифровим керуванням	7
Умножитель частоты	10
Омметр на ОУ	11
Применение ОУ в качестве источника тока или нагрузки	12
Автомобильный плейер	14
Двухконтурная охранная система	15
LCF-измеритель на микроконтроллере	17
Биоэлектронний прилад ParaZapper	21
Измерение параметров кабелей радаром TDR	24
Барометр	30
Светодиодный индикатор сети	31

ІНФОРМАЦІЯ

КНИГА-ПОЧТОЙ	32
--------------------	----

РАДІОСХЕМА

№1 січень-лютий 2010

Виходить один раз на два місяці

Науково-популярний журнал.

Зареєстрований Міністерством

Юстиції України

сер. КВ, № 13831-2805ПР, 22.04.2008 р.

Адреса для листів:

ФОП Поночинний (ж-л РАДІОСХЕМА)

а/с 111, м. Київ, 03067

тел. (044) 458-34-57, e-mail: radiochema@ukr.net

Матеріали для публікації приймаються в рукописному, друкованому та електронному вигляді.

Розповсюдження за передплатою в усіх

відділеннях зв'язку України, індекс 91710.

Редакційна колегія:

М.П. Горейко, Л.І. Єременко, О.Н. Парталя

І.О. Пасічник, Ю. Садиков, С.Л. Яковлев

Підписано до друку 16.02.2010 р.**Дата виходу в світ 23.02.2010 р.****Формат 60x84/8. Ум. друк. арк. 7,4****Облік. вид. арк. 9,35. Індекс 91710.****Тираж 1500 прим.****Ціна договірна.****Видавець ФОП Поночинний**e-mail: radiochema@ukr.net**Віддруковано з комп’ютерного набору в друкарні
ЗАТ «ОПТИМА» м.Київ, вул. Гетьмана, 15**

При передруку посилання на ж-л «Радіосхема» обов’язкове. За достовірність реклами та іншої друкованої інформації несуть відповідальність рекламидаці та автори. Думка редакції не завжди співпадає з думкою авторів.

© Редакція «Радіосхема», 2010

ВЧ навантажувальні резистори Bourns

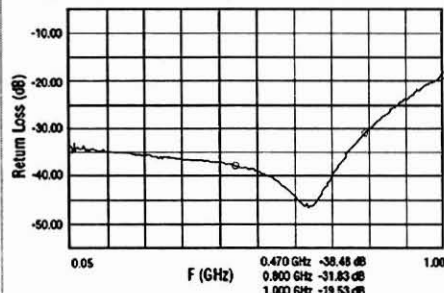


Компанія Bourns розширила асортимент постійних товстоплікових резисторів новою моделлю потужних високочастотних резисторів CHF190104KxBF500L для коаксіальних ліній. Це перші резистори Bourns планарної структури номіналом 50 Ом з потужністю розсіювання 1000 Вт для роботи на частотах до 1 ГГц.

Відмінні робочі параметри термоопору забезпечують надійну роботу навантажувальних резисторів CHF190104KxBF500L при високій потужності. Тому при використанні нових резисторів у високочастотних схемах до 800 МГц коефіцієнт відбиття буде незначним, оскільки максимальний коефіцієнт стоячої хвилі напруги складе 1,06.

Нові резистори призначені для використання як високочастотні поглиначі у широкосмуговому, радарному і медичному устаткуванні, а також в інших потужних пристроях. Резистори мають фланцевий монтаж.

Втрати у зворотньому ланцюгу (розв'язка)



Технічні характеристики

Хвильовий опір: 50 Ом

Точність: $\pm 5\%$

Діапазон робочих температур: -55...220°C

Номінальна потужність: 1000 Вт

Частота: 1 ГГц

KCBN: 1,06 макс. (800 МГц), 1,25 макс. (1 ГГц)

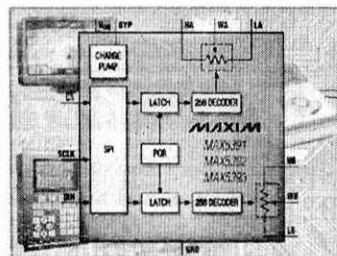
Габаритні розміри: 48x26x9 мм

Maxim представляє сімейство цифрових потенціометрів з низькою напругою живлення

Компанія Maxim анонсувала перше в галузі сімейство цифрових потенціометрів з напругою живлення 1,7 В: MAX5391, MAX5392, MAX5393. Це двоканальні цифрові потенціометри з низьким енергоспоживанням, лінійною шкалою, мають 256 рівнів регулювання. Живлення від одного джерела напруги 1,7...5,5 В роблять ці пристрої ідеальними для заміни механічних потенціометрів і цифро-аналогових перетворювачів у системах з батарейним живленням. Область застосування - вузли регулювання рівня звуку, калібрування LCD-дисплеїв, системи калібрування і настроювання, регулювання рівня підсилення.

Багато розроблювачів низьковольтних систем і пристройів (з напругою живлення нижче 2,3 В) до останнього моменту використовували механічні потенціометри чи цифро-аналогові перетворювачі в з'язку з тим, що вони зберігали працездатність при напрузі 1,8 В. При використанні механічних потенціометрів процес калібрування більш трудомісткий, причому неминучі помилки, а також не варто забувати про точність і характеристики аналогових регуляторів.

Цифрові потенціометри мають істотні переваги перед їх механічними аналогами: процесорний контроль, керування, про-



грамування, велика надійність і точність, різні варіанти корпуса, що спрощує автоматичну зборку і виробничий процес.

Цифрові потенціометри MAX5391, MAX5392, MAX5393 мають два потенціометри, включених у режимі дільника напруги, наскрізний опір 10,

50 чи 100 кОм та інтерфейс SPI чи I²C.

Основні особливості:

робота від одного джерела живлення напругою 1,7...5,5 В;

малій струм споживання;

256 рівнів регулювання;

лінійна шкала;

можливість установки в середину шкали при вимірюванні живлення;

режим перемінного резистора або дільника напруги;

інтерфейс: MAX5391, MAX5393 - SPI; MAX5392

- I²C;

діапазон робочих температур: від -40°C до +125°C;

корпус: MAX5391 - 16-вивідний TQFP; MAX5392 - 16-вивідний TSSOP, MAX5393 - 14-вивідний TSSOP.

Основне застосування: системи з батарейним живленням, портативна електроніка, автомобільна електроніка, лінійні регулятори і джерела опорної напруги.

Нові потужні білі світлодіоди Vishay у корпусі PLCC-4 під автомобільний стандарт AEC-Q101

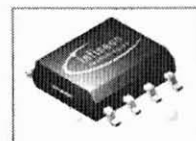
Даний світлодіод доступний у двох виконаннях: VLMW321xx із трьома анодами й одним катодом і VLMW322xx із трьома катодами й одним анодом. Новий пристрій у корпусі PLCC-4 оптимізовано для дуже низького теплового опору до 300 K/W і потужності розсіювання до 200 мВт, що у свою чергу забезпечує високі струми до 50 мА. Світлодіоди побудовані на високоекспективній технології InGa і забезпечують високу інтенсивність світла від 1400 mcd до 3550 mcd, високий світловий потік від 7000 lm до 8900 lm. Кут половинної інтенсивності складає 60°.

Нові світлодіоди високої інтенсивності призначенні для освітлення знаків, світлофорів, внутрішнього і зовнішнього освітлення автомобіля, підсвічування побутових пристрій, покажчиків, іграшок, мобільних телефонів і спалахів фотоапаратів, а також загального й аварійного освітлення, у тому числі виставочних залів і музеїв. Світлодіоди відповідають автомобільному стандарту AEC-Q101. Силіко-



нове ліття забезпечує довгий термін служби. Прилади виконані за безсвинцевою технологією, призначенні для пайки відповідно до CECC 00802 і J-STD-020 і витримують ESD до 2 кВ (HBM).

Новий ГМР-датчик кута TLE5012 Infineon Technologies



Компанія Infineon Technologies запускає у виробництво нові датчики кута на основі ГМР-ефекту (гіантського магніторезистивного ефекту).

Датчики TLE5012 визначають кут у діапазоні 360° за зміною напрямку магнітного поля. Вимірювання виконується за допомогою вбудованих ГМР-елементів, з'єднаних у мостову схему, опір яких змінюється в залежності від напрямку поля. Датчик має вбудовані АЦП для перетворення сигналів і DSP для розрахунку кута за допомогою тригонометричних функцій і генерації ШІМ. Завдяки

внутрішньому алгоритму автокалібрування датчик TLE5012 має дуже високу точність і добру лінійність. Передача даних здійснюється за допомогою SPI-сумісного двонаправленого SSC-інтерфейсу. Абсолютне значення кута й інших величин виводиться за допомогою SSC чи ШІМ протоколу.

Основні характеристики датчика TLE5012

Вимірювання кута в діапазоні 0...360° з повним калібруванням, підрахунком обертів і можливістю вимірювання кутової швидкості.

Вбудований DSP і дві окремих сігма-дельти АЦП високої точності

15-роздрядне представлення абсолютноного значення кута на виході (роздільність 0,01°)

16-роздрядне представлення величин синуса/косинуса кута

Максимальна погрішність вимірювання кута 1° протягом усього терміну служби і у всьому робочому діапазоні температур (при включенному автокалібруванні)

Двонаправлений SSC інтерфейс (до 8 Мбіт/с)

Інтерфейси: SSC, ШІМ, IIF (Incremental interface - для підключення енкодера), HSM (Hall Switch Mode - емуляція вихідного сигналу трьох датчиків Холу, зручний для підключення до мікроконтролера при застосуванні датчика для комутації двигуна)

Технологія CMOS 0,25 мкм

Мають автомобільну кваліфікацію, робочий діапазон температур -40...+150°C

Захист від статики: ESD > 2кВ (HBM)

8-вивідний корпус PG-DSO-8

Преобразователь длительности импульса в постоянное напряжение

Широко известны способы конвертирования сигналов с широтно-импульсной модуляцией в напряжение постоянного тока с помощью ин-

тегрирующего RC фильтра. Такая цепь довольно инерционна и выдает усредненное значение напряжения. На **рис. 1а** показана схема,

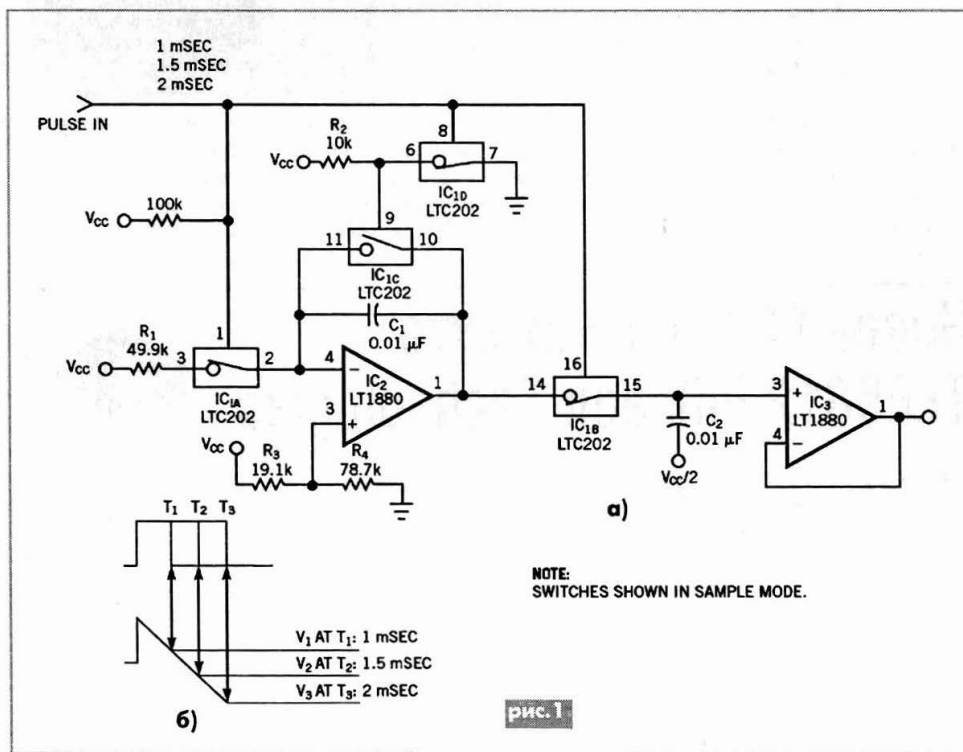


рис. 1

разработанная Джеймсом Махоней из Канады (Linear Technology). Его устройство преобразовывает импульсную информацию в сигнал постоянного напряжения, который вырабатывается в конце отдельного поступающего импульса. Преобразователь содержит два операционных усилителя LT1880 (IC_2 и IC_3) с низким входным током смещения и счетверенный аналоговый ключ LTC202 (IC_{1A} , IC_{1B} , IC_{1C} и IC_{1D}), на которых сформирован интегратор и каскад выборки (измерения) и хранения для преобразования моноимпульса в напряжение постоянного тока. После окончания импульса на выходе цепи сохраняется уровень постоянного напряжения.

На **рис. 16** показан графический пример преобразования в напряжение положительной последовательности импульсов с низким коэффициентом заполнения: ширина изменяется от 1 до 2 мс с периодом 25 мс, конвертор находится в состоянии квантования (измерения).

Входной импульс запускает, останавливает и возвращает в исходное состояние интегратор и управляет входом каскада квантования.

Первый положительный импульс поступает на уровневый интегратор, собранный на IC_2 с

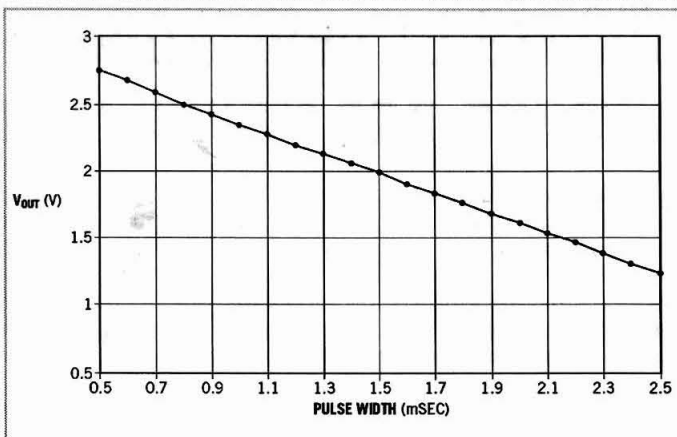


рис. 2

элементами обвязки R_1 и C_1 . Каскад с запоминанием уровня строится из операционного усилителя LT1880, ключа LTC202 и конденсатора C_2 . Ключ IC_{1A} открыт, ключ IC_{1B} закрыт, конденсатор C_1 разряжен, конденсатор C_2 заряжен. Ключ IC_{1C} открыт, ключ IC_{1D} закрыт. Интегратор в этот момент времени оказывается в состоянии хранения, до поступления следующего положительного импульса. Ключ IC_{1A} открыт, входная цепь интегратора разъединена. Ключ IC_{1C} закрыт, интегрирующий конденсатор C_1 разряжен, конденсатор C_2 заряжен, ключ IC_{1B} открыт, каскад квантования находится в режиме фиксации.

Аналоговый ключ IC_{1D} изменяет состояние вкл/выкл ключа IC_{1C} .

В устройстве применен операционный усилитель LT1880, характеризующийся максимальным входным током смещения 900 пА при 25°C и 1500 пА в диапазоне температур окружающего воздуха от -40 до +85°C. Максимальный дрейф входного напряжения смещения 1,2 мкВ/°C.

Интегрирующий конденсатор C_1 и резистор R_1 устанавливают коэффициент передачи преобразователя. Чтобы минимизировать дрейф интегратора и скорость разряда запоминающего конденсатора каскада квантования, нужно применять полипропиленовые или тefлоновые конденсаторы C_1 и C_2 .

Коэффициент передачи по напряжению определяется величинами резисторов R_3 и R_4 , которые устанавливают уровень постоянного напряжения по середине диапазона положительного импульса (1,5 мс в данном примере).

На **рис. 2** показана зависимость уровня выходного напряжения от ширины входного импульса.

Изменяя номиналы элементов цепи, можно изменить уровень выходного напряжения и проводить конвертирование импульсов различных длительностей.

Защита от переполюсации питания для мощных устройств

Электронное оборудование, которое питается от внешнего источника постоянного напряжения, может быть легко повреждено, если полярность подключения будет случайно перепутана. В цепях с малым потреблением тока эта опасность может быть предотвращена с помощью подсоединения диода последовательно с напряжением питания. Диод только тогда будет пропускать ток, если питающее напряжение имеет правильную полярность. Однако в цепях с большим потреблением тока, этот подход несколько неудовлетворителен, так как это ведет к значительным потерям мощности.

На **рисунке** показана схема, в которой нет потери напряжения и фактически нет никаких энергетических потерь, и, следовательно, подходит для устройств большой мощности.

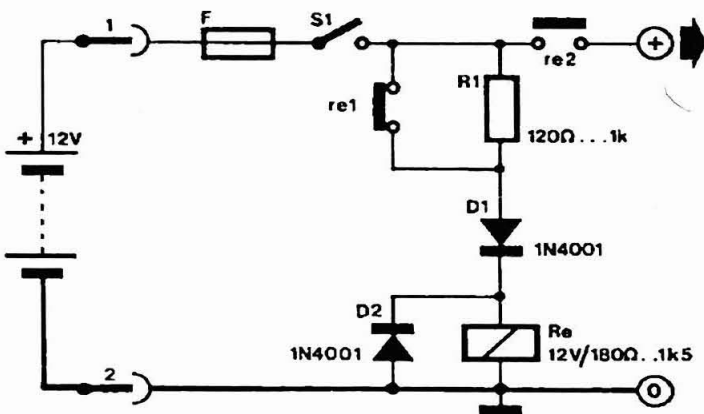
Такая цепь защиты по питанию постоянным током должна быть установлена внутри оборудования. При правильной полярности поданного питания, при закрытом выключателе S1 сработает реле Re. Нормально закрытые контакты re1 разомкнутся, наличие резистора R1 последовательно с реле уменьшит релейный ток. Так как ток отпускания меньше, чем ток срабатывания (с корректным номиналом R1),

реле Re останется возбужденным. Эта небольшая уловка уменьшает мощность рассеяния в цепи защиты. Во-вторых, нормально открытый контакт re2 закроется, таким образом передавая энергию к остальной части оборудования.

Однако, если полярность питания перепутана, диод D1 будет обратносмещенный, предотвращая реле от срабатывания. Диод D2 подавляет любые индуктивные всплески напряжения, при переключениях релейной катушки.

При использовании плавкого предохранителя, его необходимо устанавливать между источником питания и устройством защиты. Потребление тока защитной цепью настолько маленькое по сравнению с потребляемым током самим оборудованием, что нет потребности в изменении величины плавкого предохранителя.

Для других величин питающих напряжений необходимо изменить номиналы компонентов цепи. Нужно иметь в виду, что рабочее напряжение реле Re должно соответствовать питающему напряжению. Номинал резистора R1 в некоторой степени зависит от типа используемого реле, его лучше определять экспериментально.



Неинвертируючий інтегратор

В обычній схемі інтегратора (рис.1) конденсатор С проявляє себе емкостною нагрузкою на виході операціонного усилителя, характер якої може неблагоприятно впливати на стабільність і швидкість нарастання вихідного напряження ОУ.

На рис.2 показана альтернативна схема ін-

тегратора, який не виконує інвертування. Номінали елементів, определяючі постійні времена цепі, $R_1 C_1$ і $R_2 C_2$ повинні бути рівні, в протилежному випадку така схема працює як неінвертируючий диференціатор. Для правильної компенсації сдвигу номінали резисторів R_1 і R_2 повинні бути рівні.

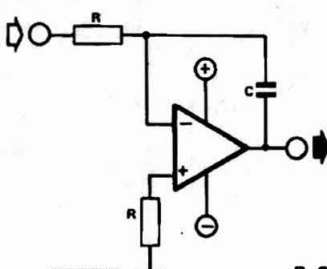


рис.1

$$R_1 C_1 = R_2 C_2 = RC$$

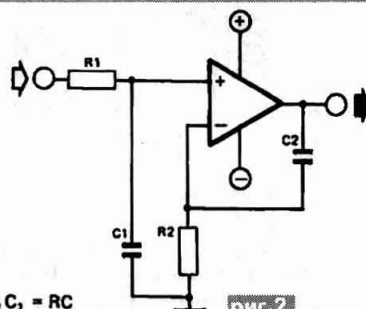


рис.2

Блок живлення ± 12 В з цифровим керуванням

Невід'ємним приладом кожної радіомайстерні або електронної лабораторії є універсальний блок живлення з регульованим виходом та низьким рівнем флюктуацій. На рисунку показана схема простого у виготовленні регульованого блоку живлення на 12 В з цифровим керуванням, яку зробив М. Метью (Франція).

Блок живлення працює від мережової напруги 220 В 50 Гц змінного струму, яка знижується за допомогою трансформатора X1 з вторинною обмоткою, розрахованою на струм 1 А. Після випрямляча D1...D4 напруга згладжується на конденсаторах C1...C4.

Фіксовану напругу -12 В виробляє регулятор негативної напруги LM7912, про її наявність свідчить світлодіодний індикатор LED2 жовтого кольору.

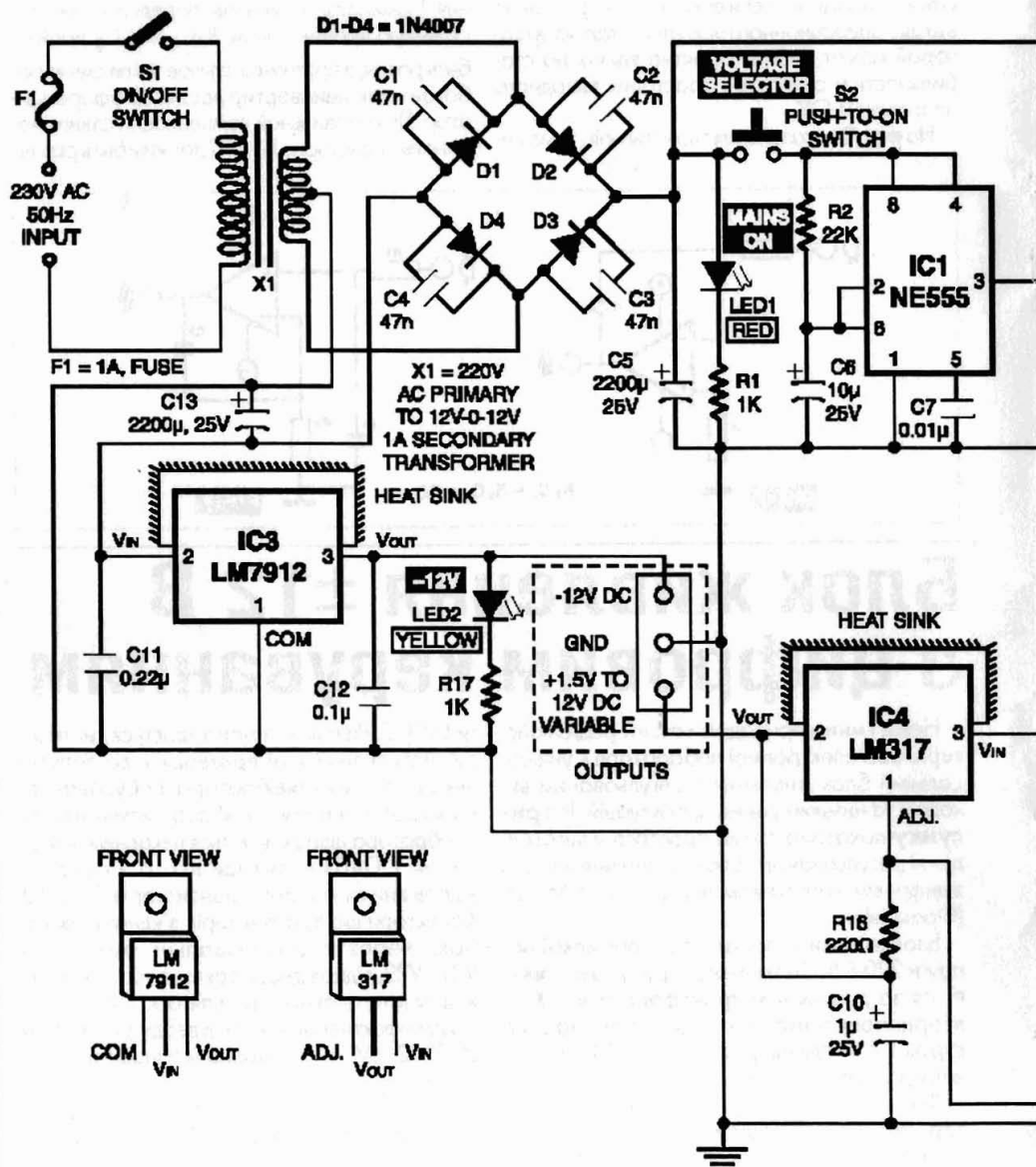
Дискретно регульовану напругу від +1,5 до 12 В виробляє регулятор позитивної напру-

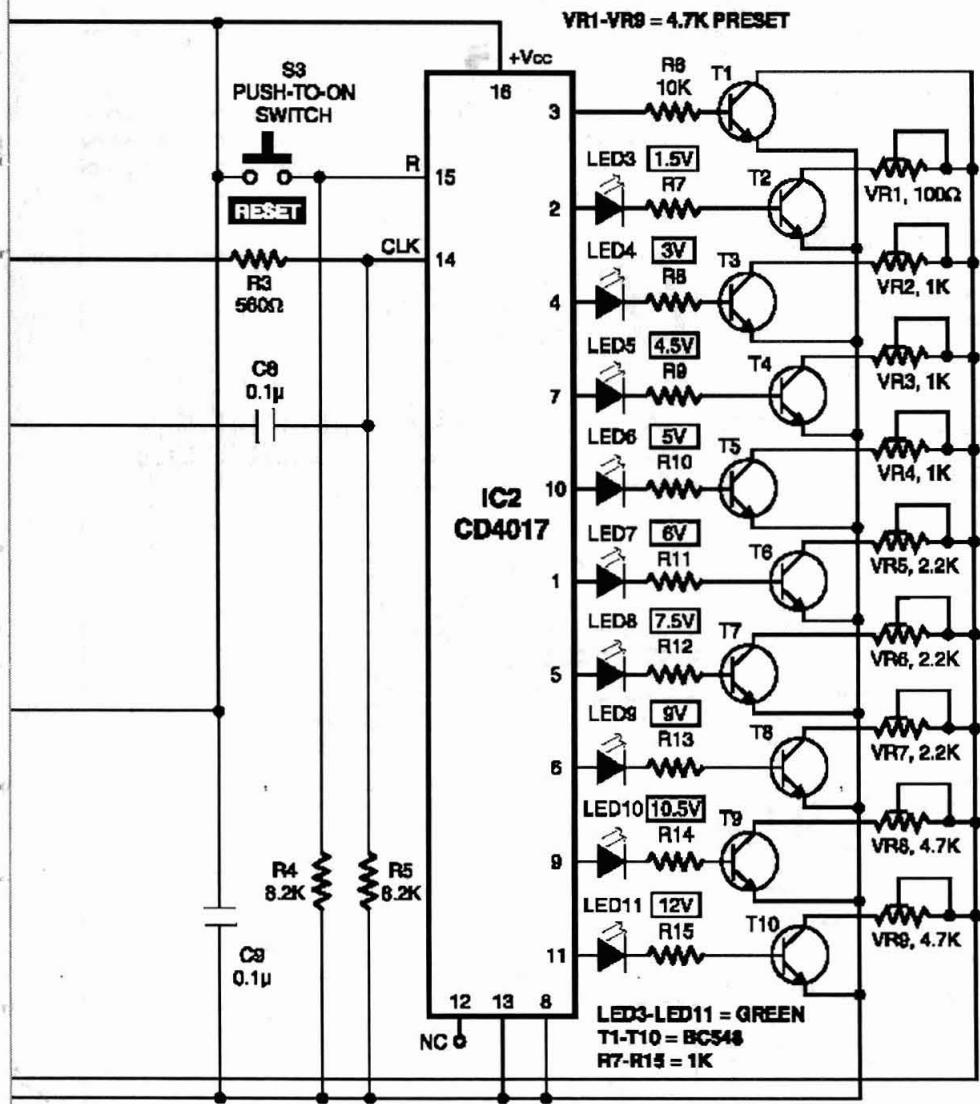
ги LM317. Рівень напруги задається кнопкою S2, натискання якої призводить до запуску чекального мультивібратора, побудованого на мікросхемі таймера NE555. Імпульси мультивібратора підраховуються декадним лічильником CD4017, виходи якого з'єднані з відповідними базами транзисторів T1...T10. Колектори цих транзисторів з'єднані між собою через підстроювальні резистори VR1...VR9, відповідно, а також з керуючим виводом інтегрального регулятора LM317.

Для ефективного тепловідводу регулятори LM7912 і LM317 необхідно встановити на радіатори.

Світлодіод червоного кольору LED1 сигналізує про готовність до роботи блока живлення.

Світлодіоди LED3...LED11 виконують роль індикаторів напруги 1,5...12 В, яка змінюється дискретно: 1,5; 3; 4,5; 5; 6; 7,5; 9; 10,5; 12 В.





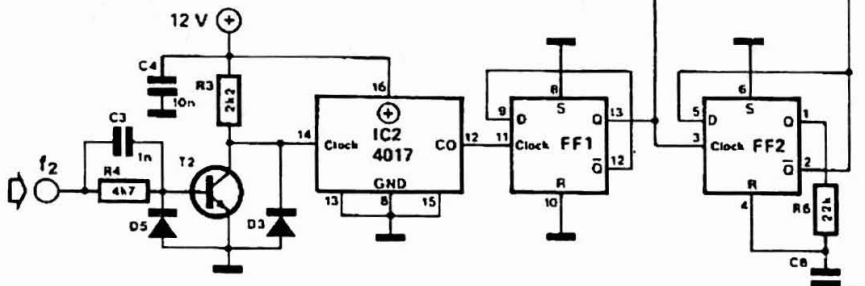
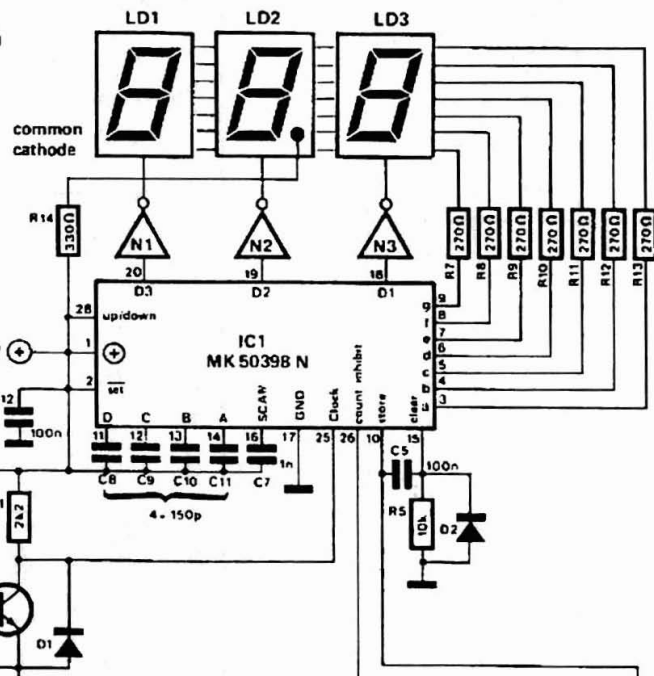
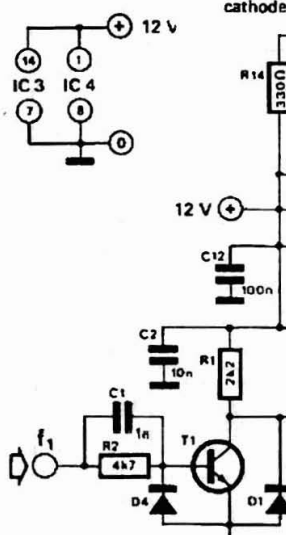
Умножитель частоты

В некоторых ситуациях, например, при проверке частотного умножителя или цепей делителя, в системе фазовой автоподстройки частоты, в некоторых цепях музыкальных устройств и т.д., более важно измерять отношение частот двух сигналов. При помощи схемы В. Дика (Англия), показанной на **рисунке**, отношение между частотами двух сигна-

лов f_1 и f_2 может быть измерено и отображено непосредственно на трех семисегментных дисплеях. Устройство будет измерять отношения до 99,9 с точностью 0,1, при условии, что частота f_1 больше f_2 . Схема устройства построена на основе счетного драйвера дисплея MK 50398N. Сигнал с более высокой частотой f_1 подается через входной

FF1, FF2 = IC3 = 4013
N1 . . . N3 = IC4 = 4049

T1, T2 = BF 494
D1 . . . D5 = 1N4148



каскад на транзисторе T1 на тактовый вход (выв. 25) счетчика. Импульсы будут подсчитываться на этом входе при низком уровне на выв. 26, который обеспечивает декадный делитель IC2 и триггер FF1 в течение десяти циклов более низкого частотного сигнала

f2. Таким образом, число, которое появится на дисплеях, будет отображать десятикратное отношение между частотами f1 и f2. Триггер FF2 включен как ждущий и используется для обеспечения корректной работы счетчика микросхемы.

Омметр на ОУ

На базе операционного усилителя CA3140 FET можно построить простой омметр с линейной шкалой [см. рисунок]. ОУ включен в неинвертирующем режиме, на прямом входе поддерживается постоянный уровень стабилитроном с напряжением стабилизации 3,9 В. Выходное напряжение ОУ определяется выражением $(Rx + R2) \times 3,9 / R2$ [В].

Так как один конец измерительного прибора подключен ко входу ОУ и стабилитрону, измеряемое напряжение будет определяться выражением:

$$Rx/R2 \times 3,9 + R2/R2 \times 3,9 - 3,9 \text{ т.е. } Rx/R2 \times 3,9 \text{ [В].}$$

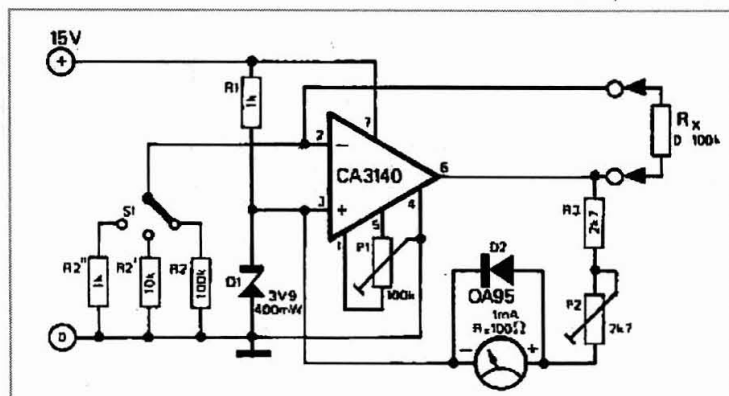
Поскольку напряжение на стабилитроне и сопротивление резистора R2 имеют фиксированные значения, напряжение, измеренное омметром, оказывается пропорциональным величине сопротивления R2. В качестве измерителя используется миллиамперметр с последовательным резистором 3,9 кОм. Максимальное отклонение по шкале измерительного прибора составляет около 3,9 В, точность определяется параметрами стабилитрона. Германевый диод, подключенный параллельно измерительному прибору, защищает его в случае перегрузки.

Омметром можно производить измерения в трех диапазонах, изменяя номинал резистора R2. Когда

резистор R2 имеет сопротивление 1 кОм, тогда при сопротивлении 1 кОм измеряемого резистора Rx стрелка измерителя покажет максимальное отклонение по шкале 3,9 В. Аналогичные показания прибора будут в случае, когда $R2 = Rx = 10 \text{ кОм}$ и $R2 = Rx = 100 \text{ кОм}$.

Таким образом переключателем S1 в омметре обеспечиваются три диапазона измерений: 0...1 кОм, 0...10 кОм и 0...100 кОм.

Чтобы откалибровать омметр, необходимо выставить ноль на измерительном приборе. Потенциометр P2 устанавливают на минимальное сопротивление, для обеспечения наибольшей чувствительности, и закорачивают резистор Rx. С помощью подстроечника P1 выставляют ноль на шкале измерителя. Омметр также можно откалибровать, подсоединяя прецизионные резисторы известного номинала (например, 100 кОм с допуском 1 %) к выводам Rx, регулировкой потенциометра P2 добиваются правильных показаний прибора. Для хорошей точности измерений на всех диапазонах номиналы резисторов R2, R2' и R2'' должны иметь допуск не более 2 %. Максимальный номинал сопротивления, который может использоваться для резистора R2, и, следовательно, максимальное сопротивление Rx, которое может быть измерено, зависит от входного сопротивления ОУ. В омметре, построенном на CA3140, можно использовать резистор R2 сопротивлением 10 МОм.



Применение ОУ в качестве источника тока или нагрузки

Проектируя различные электронные устройства, датчики, усилители постоянного тока, генераторы сигналов специальной формы, управляемые источники постоянного тока или цепи токовой нагрузки, можно использовать ОУ MAX4162 в качестве одного функционального блока. Такие схемы обладают высоким динамическим выходным сопротивлением ирабатывают относительно большие токи в диапазоне допустимых напряжений.

На рис. 1а, б, в показаны варианты включения ОУ в качестве токовой нагрузки (компромисс между точностью, динамическим сопро-

тивлением и диапазоном устойчивости).

На рис. 1г показана схема двухполарного источника тока с простой конфигурацией обратной связи, в отличии от схемы токовой накачки, которая требует положительной обратной связи и представляет переменное входное сопротивление. На рис. 1д показан источник постоянного тока. Все эти цепи обладают превосходной линейностью выходного тока в зависимости от входного напряжения.

На выходе цепи (рис. 1а) имеется некоторая погрешность, вносимая током покоя ОУ, величина тока покоя добавляется к расчетно-

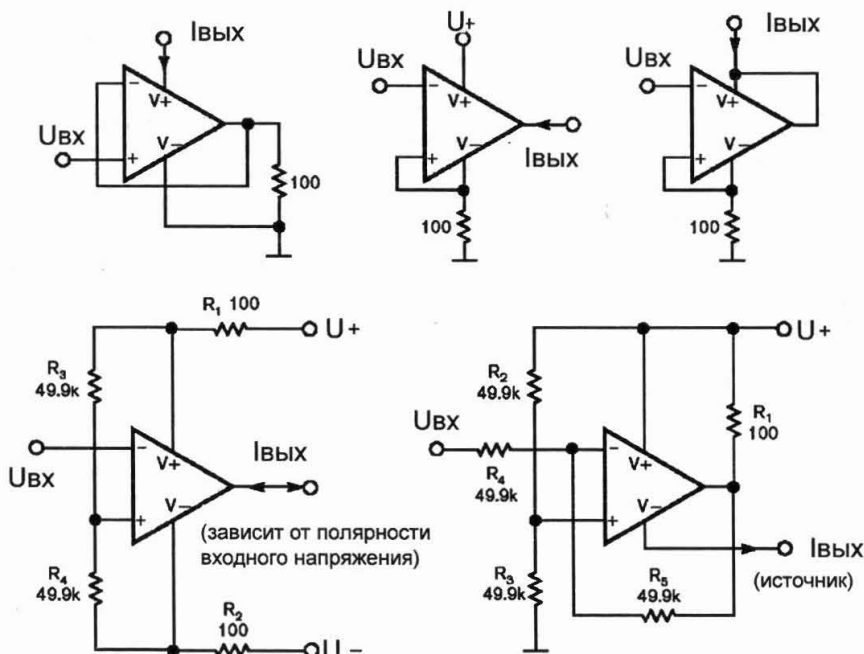


рис. 1

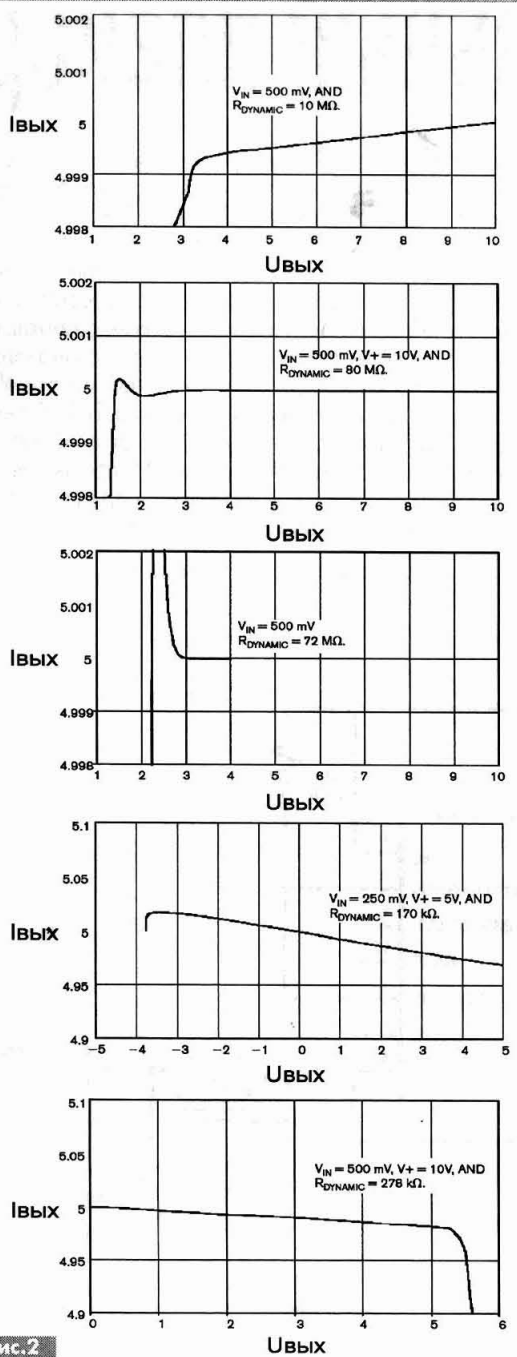


рис.2

му току на выходе (**рис.2а**). Например, в большинстве схемных приложений можно пренебречь током покоя (у ОУ MAX4162 ток покоя приблизительно равен 25 мкА). Схема на рис.1б ведет себя аналогично, но ее ток покоя вычитается от идеального значения тока на выходе (**рис.2б**). Схема на рис.1в обеспечивает токовую нагрузку без ошибки тока покоя, и схема на рис.1г представляет bipolarный выход - то есть это нагрузка или источник тока - в зависимости от полярности входного напряжения (так же зависит от точного согласования величин сопротивлений резисторов R1-R2 и R3-R4). Любая разность между абсолютными величинами напряжений питания проявляется как ток смещения во входном напряжении. Для достижения нечувствительности к изменениям напряжения источника питания схема источника тока на рис.1д требует равенства величин сопротивлений резисторов R2-R3 и R4-R5.

Для расчета выходных токов на рис.1 можно воспользоваться формулой. Обратите внимание, что во всех схемах $R_{LOAD}=100 \text{ Ом}$. На рис.1а $I_{OUT}=V_{IN}/R_{LOAD}+25 \text{ мкА}$; на рис.1б $I_{OUT}=-V_{IN}/R_{LOAD}-25 \text{ мкА}$; на рис.1в $I_{OUT}=-V_{IN}/R_{LOAD}$; на рис.1г $I_{OUT}=-2V_{IN}/R_{LOAD}$; на рис.1д $I_{OUT}=V_{IN}/R_{LOAD}$.

Уравнение для рис.1г предполагает точные пары $R3=R4$, $R1=R2$ и $V+=V-$. И при условии, что $R4$ на много больше $R1$.

На **рис.2** показан динамический импеданс цепей, приведенных на рис.1.

Автомобильный плейер

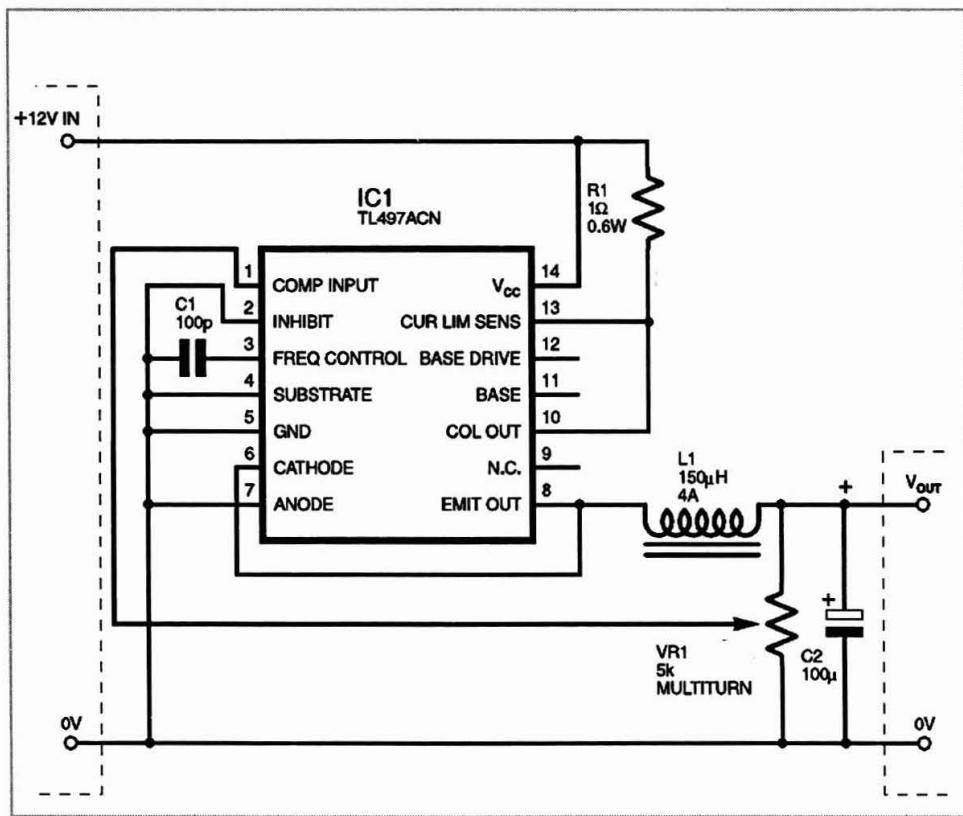
Схему, показанную на **рисунке**, разработал Стив Делоу (США) после того, как автомобильная магнитола дважды "зажевала" ленту его лучшей кассеты. Вместо того чтобы заменить встроенную автомагнитолу, он решил использовать в автомобиле мобильный кассетный плейер, который ни разу не портил ленты кассет.

Для решения данной задачи необходим переходной адаптер - понижающий бортовое напряжение автомобиля с 10...15 В до 3 В (типовое напряжение питания для плейеров).

Для получения стабилизированного на-

пржения 3 В автор отказался от использования транзисторной схемы, которая нуждается в радиаторе ($10 \text{ В} \times 0.5\text{A} = 5 \text{ Вт}$), и применил импульсный стабилизатор TL497, без дополнительного радиатора. Для его работы в качестве DC/DC преобразователя необходимо всего несколько компонентов, выходное напряжение которого устанавливается многооборотным потенциометром VR1.

Практически микросхема TL497 легко справляется с нагрузкой в виде плейера, оставаясь немного теплой. Наибольшая нагрузка на схему приходится при включении режима перемотки плейера.



Двухконтурная охранная система

С помощью простого сигнализационного устройства, которое разработал П.Гурецкий (Польша), можно обеспечить охрану дачного дома, хозяйственного здания, гаража или иного объекта, расположенного на удалении. Устройство имеет один выход для подключения звукового сигнализатора и два охранных контура, один из которых работает с задержкой. На **рис.1** показан внешний вид печатной платы устройства с элементами.

В режиме ожидания устройство не потребляет энергии, в режиме охраны потребление тока составляет 2 мА, следовательно при применении сирены с пьезоизлучателем можно питать прибор не только от сетевого источника питания и аккумулятора, но также от батареи, например от 8...12 "пальчиковых".

На **рис.2** показана схема устройства. Устройство построено на основе микросхемы 4538В, которая содержит два прецизионных моностабильных мультивибратора.

В режиме охраны, когда контуры L1, L2 не разорваны, то на входах 4 и 12 одновибраторов микросхемы U1 присутствует низкий уровень. Когда один из охранных контуров будет разорван на время более 0,2 с (при номиналах элементов, показанных на схеме), на соответствующем входе микросхемы U1 появится высокий уровень. Нарастающий фронт запустит одновибратор. Если нарушен контур L1, то сразу же сработает звуковая сигнализация, длительность ее звучания определяется номиналами элементов R8, C4. Охранный контур L2 - контур с задержкой. Нарушение его целостности приведет к запуску одновибратора U1A на время, определенное номиналами элементов R6, C3. Сигнализация сработает не сразу, а лишь после окончания импульса на выходе одновибратора U1A. Спадающий фронт с вывода 6 запустит одновибратор U1B через вход В (выв. 11). В это время (так называемое время доступа) уполномоченный пользователь может спокойно выключить тревогу, воспользовавшись переключателем S1.

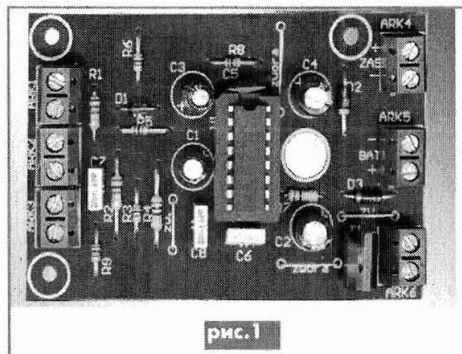
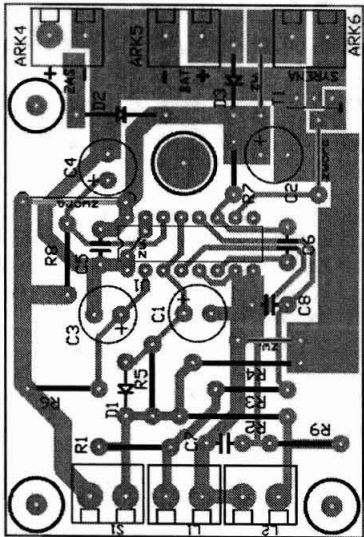
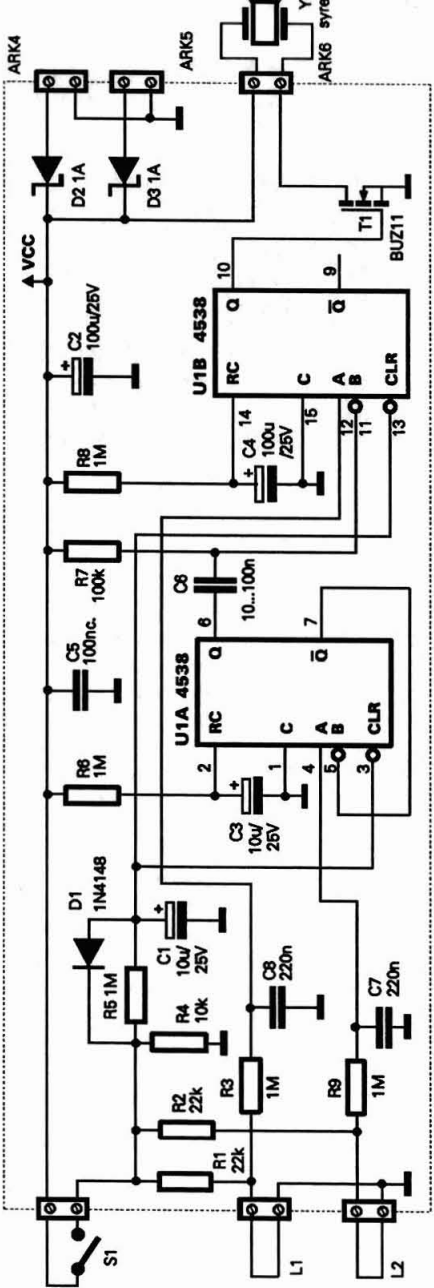


рис.1

Низкое состояние, которое появится на входах обнуления обоих одновибраторов (выв. 3, 13), дополнительно сделает невозможным их работу. Цель R5C1 выполняет задержку постановки устройства на охрану во время включения прибора переключателем S1: конденсатор C1 заряжается через резистор R5. В промежуток времени, определенный номиналами элементов R5, C1, на обнуляющих входах обоих одновибраторов присутствует низкий уровень и охранный система не будет реагировать на нарушение контуров L1 и L2. Временные диаграммы показаны на **рис.4**.

Следует заметить, что длительное многократное нарушение охранных контуров не приведет к непрерывной тревоге, только включение сирены на время, определенное элементами R8, C4, которое обычно составляет от 30 секунд до 5 минут. Практически замечено, что время тревоги должно быть ограничено - сирена не может гудеть долго, например, всю ночь без перерыва.

Транзистор T1 имеет максимальный ток свыше 20 А, следовательно, к устройству можно подключать разнообразные виды сирен, включаемые с дополнительным питанием. Это могут, то быть сирены с мощным динамиком, с током возбуждения 1...3 А или сирены с пьезомембраной, с током - 100...300 мА.



рик.3

Все временные интервалы (задержка входа, задержка выхода и время тревоги) можно произвольно изменять, лучше всего через изменение емкости C_1 , C_3 и C_4 (4,7...470 мкФ). Не рекомендуется применять резисторы с сопротивлениями выше 1МОм. Можно смело уменьшить номиналы R_5 , R_6 , R_8 (100...470 кОм) и увеличить, соответственно C_1 , C_3 , C_4 .

Цепи R_3 , C_8 и R_9 , C_7 предохраняют устройство от импульсных помех и диверсионных попыток повреждения системы охраны подключением к одному из охранных контуров сетевого напряжения 220 В.

Диоды Шоттки D_2 и D_3 типа 1N5818, рассчитанные на ток 1 А, устанавливаются в случае, когда используется питание от двух источников: сетевого адаптера и резервной батареи, при этом следует учитывать, что напряжение сетевого адаптера должно быть большим, чем напряжение "свежей" резервной батареи (в данном варианте схемы - не монтировались).

В режиме охраны переключатель S_1 замкнут и через резисторы R_1 , R_2 , а

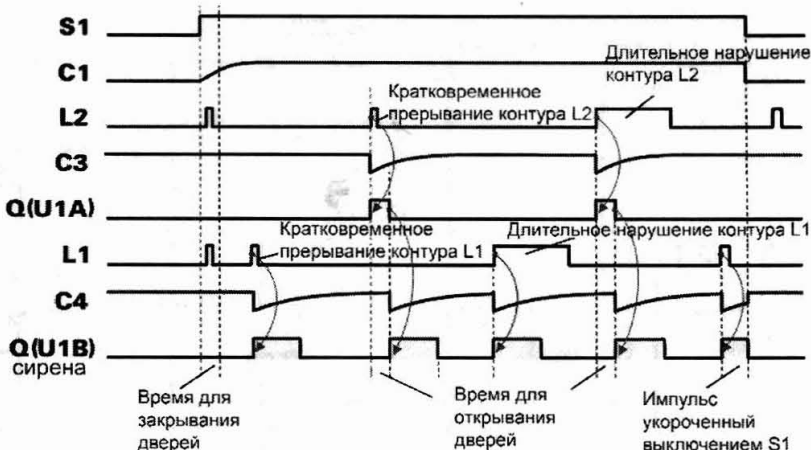


рис.4

также петли охраны L1, L2 протекает ток, при этом потребление тока составляет около 1 мА. Номиналы резисторов R1, R2 можно увеличить до 220 кОм, что приведет к уменьшению потребления тока (приблизительно до 0,1 мА) и позволит поддерживать в рабочем состоянии систему с комплектом пальчиковых батареи в течение целого года.

На **рис.3** показана печатная плата с размещенными на ней элементами.

Собирая прибор, следует позаботиться о защите его от возможных загрязнений, пыли и влажности. Для этого печатную плату устройства желательно покрыть лаком или герметиком, особенно, если прибор предполагается эксплуатировать вне отапливаемого помещения.

Контур L2 используется, как правило, в цепи, защищающей входные двери. Как вид-

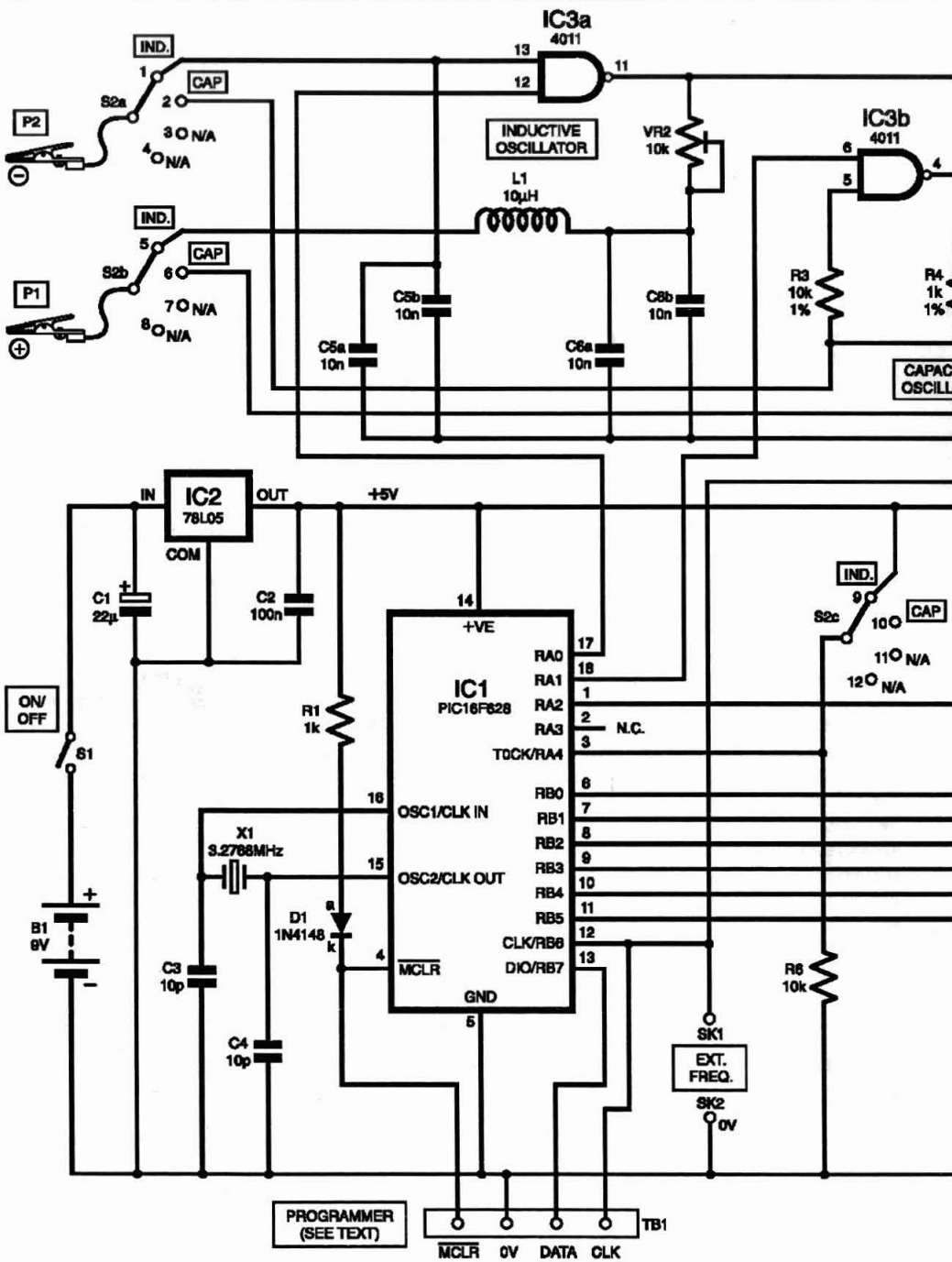
но из описания, переключатель S1 выполняет важную роль: служит для включения/выключения прибора и отключения сигнализации. Чтобы устройство полноценно выполняло роль охранной системы, то при его монтаже нужно спрятать этот выключатель, а доступ к нему оградить контуром L2. Например, если контур L2 охраняет двери помещения, то после входа в нее (нарушении контура L2) уполномоченного пользователя будет несколько секунд (определенных номиналами цепи R6, C3) на отключение сигнализации. Аналогично, включив систему охраны переключателем S1, у пользователя будет немного времени (R5; C1) для выхода из помещения до перехода в режим охраны прибора.

Такое решение радикально затруднит задание взломщику обойти охрану.

LCF-измеритель на микроконтроллере

С помощью прибора, разработанного Д. Беккером (Англия), можно измерять индуктивность в диапазоне 1 мГн...10 Гн, емкость - 1 пФ...6500 мкФ и частоту внешнего источника в диапазоне 0,05 Гц...5 МГц при напряжении входного сигнала 5 В.

Схема прибора показана на **рис.1**. Измеритель построен на базе микроконтроллера PIC16F628.



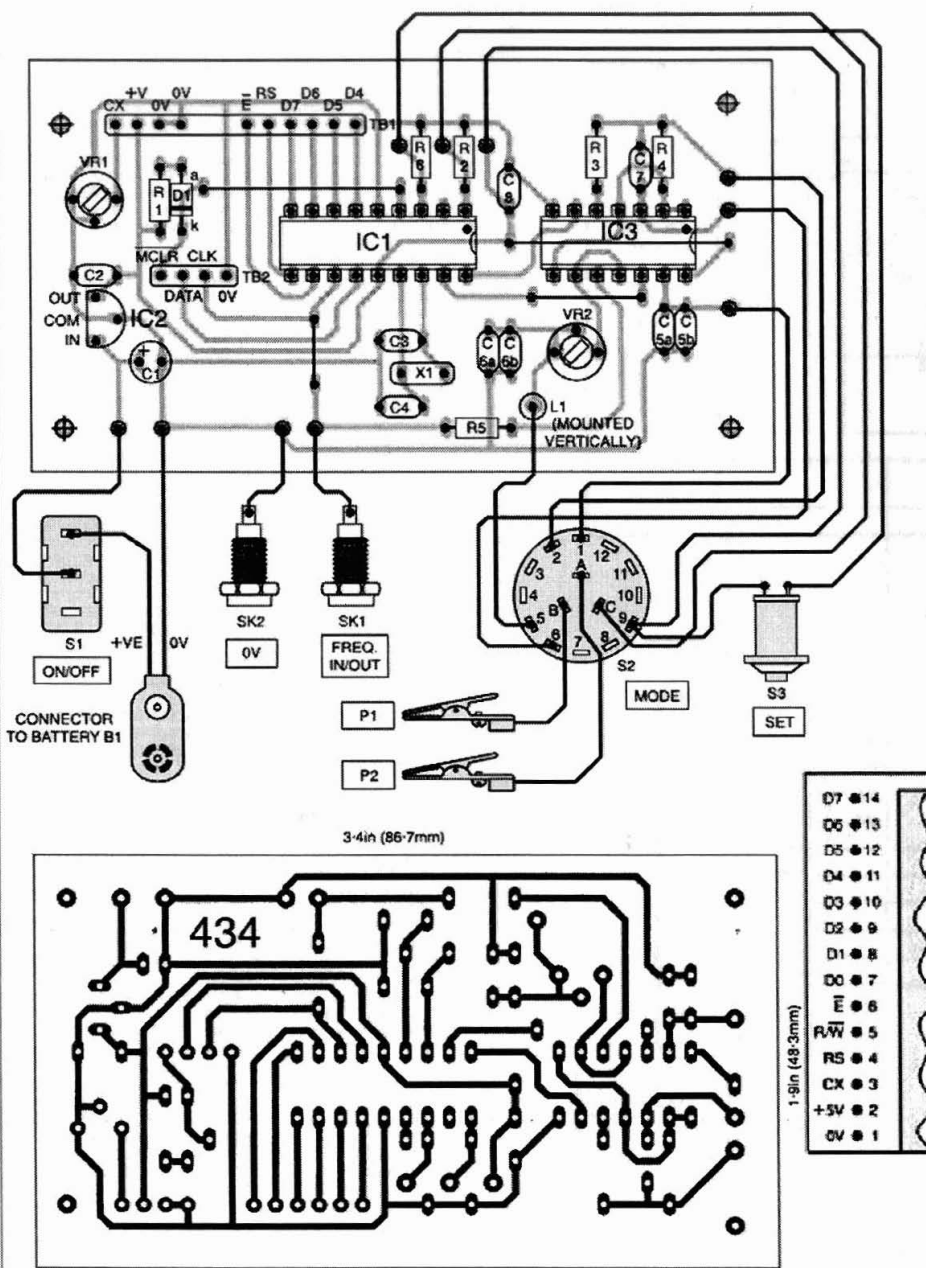


рис.2

С помощью LC-генератора производится измерение индуктивности, а с помощью RC-генератора - емкости. LC-генератор построен на инверторе IC3a с катушкой L1 и конденсаторами C5a, C5b, C6a, C6b. Внешняя катушка подключается к измерителю с помощью "кодильчиков" P1 и P2, при этом переключатель S2 должен находиться в положении 1.

RC-генератор создан на инверторах IC3b и IC3c с элементами R4 и C7. Измеряемый конденсатор подключают к тем же разъемам, что и индуктивность, а переключатель S2 переводят в положение 2.

Гнезда SK1, SK2 служат для подключения внешнего источника. Результаты измерений отображаются на ЖК-индикаторе.

Вся конструкция помещается на одной плате (см. **рис.2**) внутри корпуса размерами 150x80x50 мм.

HEX-код прошивки микроконтроллера PIC16F628 показано на рис.1, а программное обеспечение на ассемблере можно бесплатно "скачать" по адресу: www.epermag3.com/index.php?option=com_docman&task=cat_view&gid=29&Itemid=38.

Біоелектронний прилад ParaZapper

Цей прилад - винахід Х.Кларк (www.paradevices.com) - одержав у різних варіантах широке поширення у світі. Багато користувачів вже переконалися в його ефективності.

Zapper працює, подаючи пульсуючу напругу (звичайно від 9-вольтової батареї) на пари електродів, розташованих на тілі людини, що призводить до протікання через тіло пульсуючого струму, який згубно впливає на віруси, хвороботворні мікроби і бактерії.

Принципова електрична схема приладу показана на **рис.2**. На мікросхемі IC1 і транзисторі TR1 зібраний стабілізатор живлення. П'єзоелемент WD1 і світлодіод D2 сигналізують про початок і кінець процедури. Мікроконтролер IC2 забезпечує роботу рідкокристалічного індикатора текстових повідомлень X2. Таймер IC3 є генератором з періодом генерації 16 с. На мікросхемі IC5 реалізований подвійний таймер, що забезпечує вихідний меандричастотою 2,5 кГц.

Прилад легко розміщується в пластиковому корпусі розмірами 150x80x50 мм. Електроди зв'язані з приладом червоним (для позитивного) і чорним (для негативного) проводами, що закінчуються 4-міліметровими штирками. Електроди (**рис.1**) виготовлені з мідної трубки діаметром 22 мм. При використанні приладу вони затискаються в руках, приміром, червоний в правій, а чорний - у лівій.

Курс лікування складається з трьох сеансів по 7 хв. із паузами по 28 хв. між ними.



Медичні застереження. Зазвичай неможливо відчути імпульси, які генерує прилад, що працює від напруги 9 В.

Біоелектронні прилади Zapper заборонено застосовувати людям з кардіостимулятором, майбутнім матерям і замість кваліфікованої медичної допомоги. При виникненні побічних ефектів слід негайно припинити використання приладу!

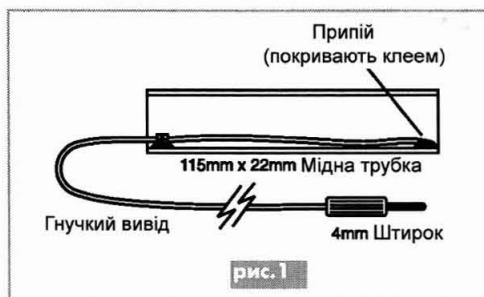
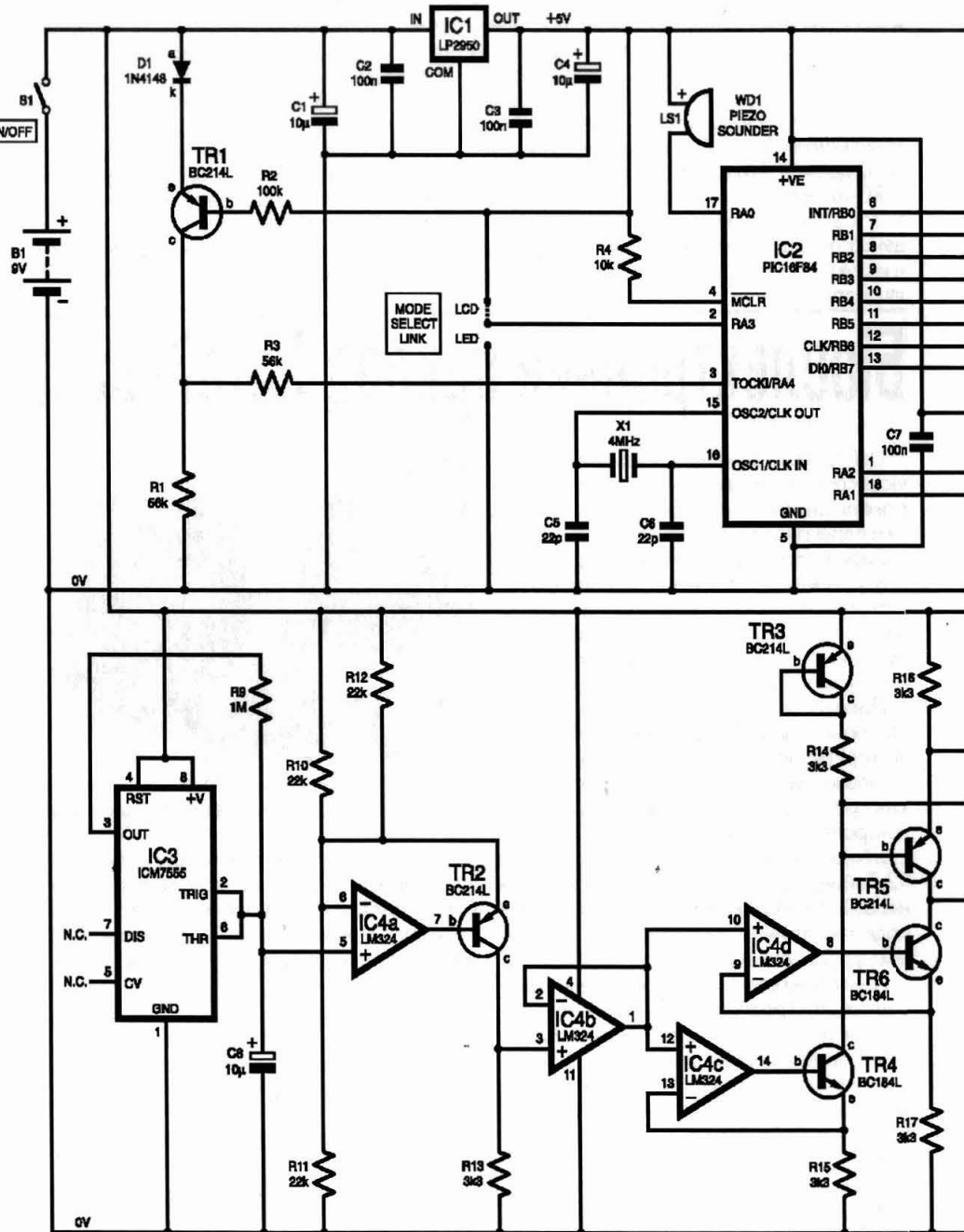


рис.1



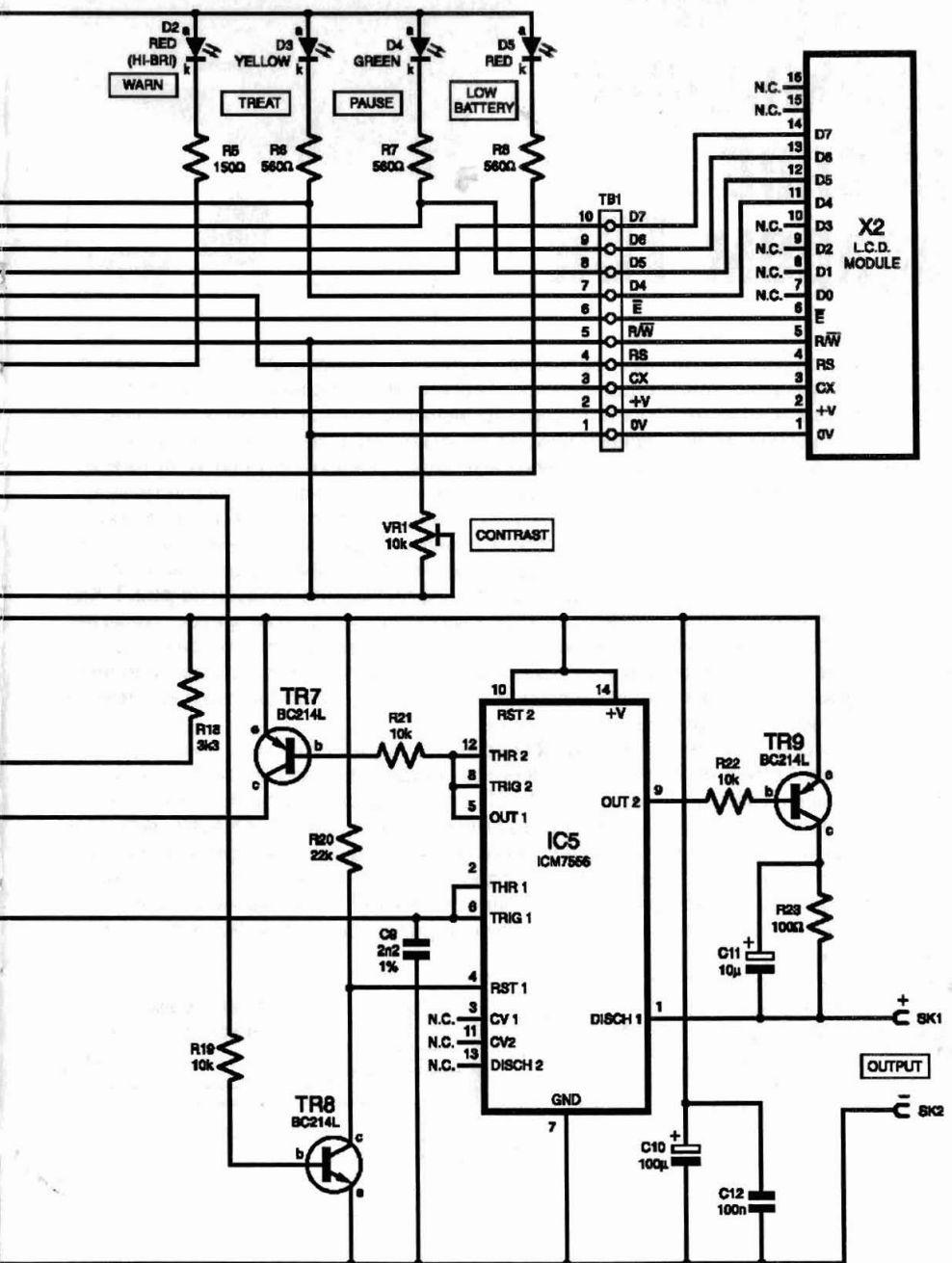


рис.2

Измерение параметров кабелей радаром TDR

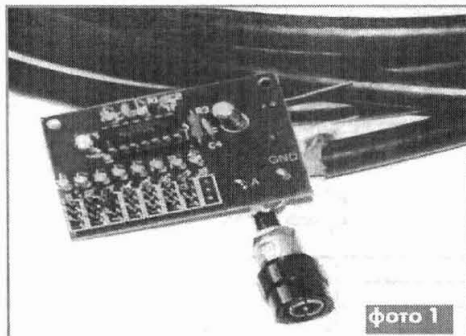


фото 1

Данное устройство было изготовлено для решения конкретных вопросов: как измерить волновое сопротивление кабеля с помощью универсального измерителя, как выполнить разветвление 50-омного кабеля от 75-омного, как определить место повреждения кабеля импульсным методом.

Очевидно омметром и с помощью постоянного тока нельзя измерить параметры, свойства которых проявляются на высоких частотах. Это не значит, что для проведения измерений антенных и других кабелей обязательно необходимо применять специализированное и дорогостоящее оборудование. В данной статье предлагается простое устройство, которое не только поможет измерить волновое сопротивление кабеля, но и проверить его затухание, локализовать место повреждения и необычным способом измерить его длину без использования "метра".

Название "кабельный радар" указывает на принцип работы устройства. В специальной технической литературе такое устройство носит название TDR (time-domain reflectometer, динамический рефлектометр). В исследуемый кабель излучает-

ся короткий прямоугольный импульс. Этот импульс распространяется по кабелю со скоростью немного меньшей за скорость распространения света. Отражается от всяческих препятствий, и в точку выхода возвращается эхо в виде одного или нескольких импульсов. Наблюдение за отраженными импульсами приносит много информации о кабеле, его длине и электрических характеристиках. Устройство работает совместно с осциллографом, на экране которого проводят наблюдения за электрическими процессами в кабеле.

Принцип работы рефлектометра показан на **рис. 1**. Как видно, генератор вырабатывает короткие прямоугольные импульсы, которые посыпаются в линию и рассматриваются возникшие эхо-процессы. Большую часть работы выполняет промышленный осциллограф, показывающий временные процессы в линии.

На **рис. 2** показана электрическая схема генератора импульсов. Генератор построен по классической схеме на инверторах КМОП структуры стандартной логики 74AC04 (КР1554ЛН1) в PDIP14 корпусе. Частота следования генерируемых импульсов около 1 МГц, которую, при желании, можно изменить, подобрав другие значения номиналов конденсатора C1 и сопротивления R2. Короткие импульсы длительностью около 5 нс образуются в цепи C2R3, затем форми-

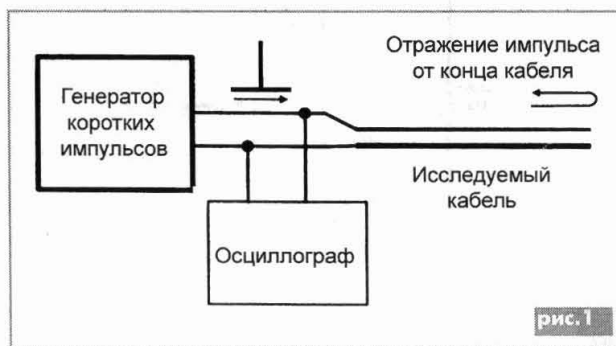


рис. 1

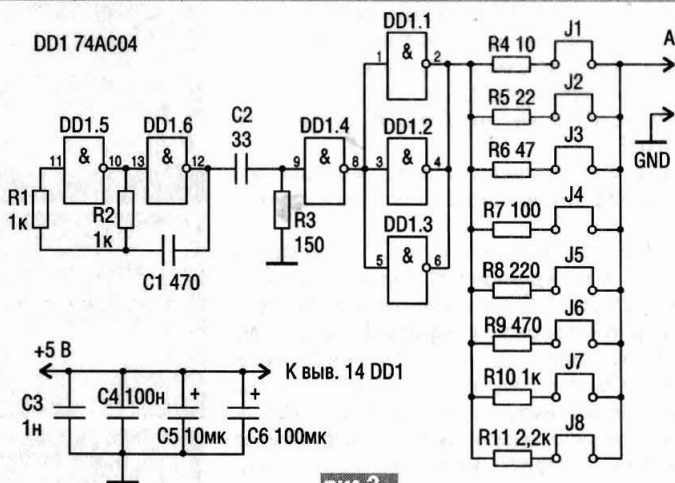


рис.2

рутятся на инверторах, выполняющих роль буферов, обеспечивающих малое выходное сопротивление генератора импульсов. На выходе образуются положительные импульсы (относительно массы). Сеть резисторов R4...R11 и перемычек J1...J8 позволяет получить выходное сопротивление генератора в диапазоне от 5 Ом до 2,2 кОм, что дает возможность подключать его к любым кабельным линиям. Для получения необходимого сопротивления нужно вставить соответствующие перемычки.

Сенсационно короткое время длительности и нарастания импульсов стало возможным благодаря применению сверхбыстрой интегральной микросхемы серии 74ACxx. Обратите внимание, что в устройстве следует применять сверхбыстрые 74AC04 или 74ACT04. Если попробуе-

те использовать биполярные 74F04 или 74S04, тогда необходимо проверить, будут ли они работать в нужном диапазоне при больших величинах сопротивлений резисторов, и подобрать номиналы элементов. Стоит заметить, что требуемую длительность импульсов 4...5 нс ИМС 74HC04, 74HCT04, 74LS04 или 7404 скорее всего не смогут обеспечить. При попытке их использования нужно самостоятельно подобрать номиналы элементов для получения самых коротких импульсов.

Монтаж и измерения

Кабельный радар выполнен на односторонней печатной плате, показанной на **рис.3**. Правильно собранное устройство с исправными элементами не требует никакой настройки и работает сразу же при подаче напряжения питания. Учитывая характер и особенности скоростных параметров процессов и самого устройства, печатная плата спроектирована таким образом, чтобы минимизировать негативные явления, характерные для высокочастотных цепей (устройств). Конденсатор C3 (1 нФ керамический) должен быть припаян просто к выводам 7, 14 ИМС. В авторском варианте конденсатор C3 не применялся и устройство работало исправно.

Соединение с осциллографом производится отрезком провода длиной 1...3 см с на конечником BNC. В данном случае соеди-

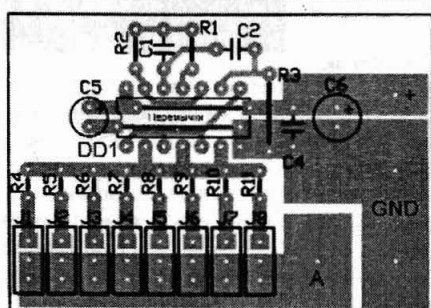


рис.3

нительный провод должен быть по возможности короче с целью его минимального влияния на результаты измерений. В связи с этим не было предусмотрено специального гнезда или клемм для крепления исследуемого кабеля. Жилы кабеля припаивают к точкам, обозначенным А и GND. Детали можно видеть на **фото 1**.

Для тестирования модели следует использовать широкополосный осциллограф для просмотра импульсов длительностью около 5 нс.

На **фото 2-4** показан сигнал в толстом 50-омном кабеле внешним диаметром 10 мм и длиной 6,88 м при выходном сопротивлении генератора 50 Ом, т.е. кабель был подсоединен к генератору одной стороной. На **фото 2** показан процесс, когда на другом конце подключен обычный резистор сопротивлением 51 Ом, т.е. когда кабель подключен с двух сторон. Отчетливо видно импульс, посланный в кабель. Отражение незначительное - энергия импульса передана загрузочному резистору. На **фото 3** показано процесс, когда второй конец кабеля был раскрыт. Кроме излученного в кабель импульса видно импульс, отразившийся от конца кабеля. Он имеет ту же полярность, что и тестовый. Обратная полярность импульса (**фото 4**) наблюдается в случае, когда противоположный конец кабеля имеет короткое замыкание.

На указанных фотографиях показаны процессы при развертке осциллографа 0,1 мкс/дел. Используемый осциллограф позволяет просматривать процессы в растянутом виде при развертке 10 нс/дел. На **фото 5** показан тот же процесс, что и на **фото 3**, но растянут во времени в 10 раз. Как видим, расстояние между импульсами составляет около 70 нс (осциллограф перед измерениями не калибровался). Излучаемый в кабель импульс распространяется до конца кабеля и возвращается обратно (13,76 м). Таким образом, разделив длину кабеля на время прохождения импульса (13,75 м / 70 нс), получим приблизительную скорость распространения импульса в кабеле, равную 200 000 км/с.

Если бы осциллограф был ранее откалиброван с помощью кварцевого генератора, точность измерения скорости распространения была бы точнее, ошибка не превышала бы 2...3%.

На следующих трех фото показаны процессы, протекающие в обычном аудиокабеле $2 \times 2,5 \text{ мм}^2$ длиной 4,4 м. Развертка осциллографа 10 нс/дел. Запаздывание отраженного импульса составляет около 40 нс и свидетельствует о том, что скорость распространения импульса в этом кабеле выше и составляет около 220 000 км/с.

На **фото 6** и **7** показаны процессы при коротком замыкании на противоположном конце кабеля и без нагрузки, при открытом кабеле. На **фото 8** показан процесс в кабеле практически без отражения при использовании на противоположном конце кабеля нагрузочного резистора сопротивлением 140 Ом. Такая величина подобрана эксперимен-

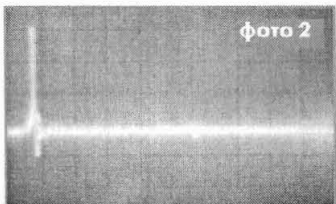


фото 2



фото 3



фото 4

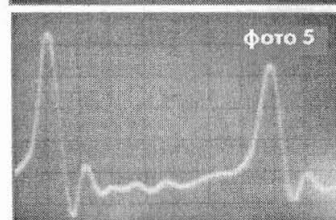


фото 5

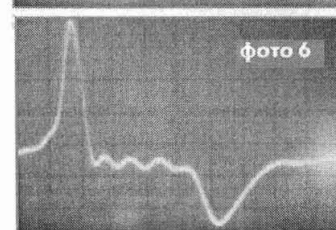


фото 6

тально и такой, собственно, является волновое сопротивление кабеля (акустического). Хотя такого типа кабели не используются в технике ВЧ с точки зрения на большое затухание и воздействие помех, не стоит удивляться, что кабель НЧ имеет свойства, типовые для элементов ВЧ.

Каждый кабель имеет некоторое волновое сопротивление и

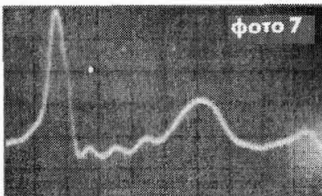


Фото 7

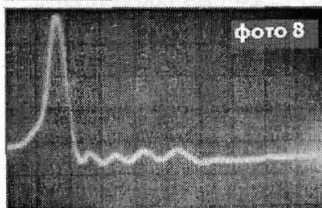


Фото 8

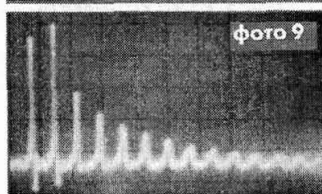


Фото 9

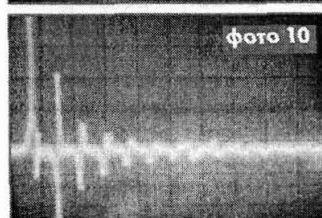


Фото 10

ния резистора нужно уменьшить. Если отраженный импульс имеет отрицательную полярность - сопротивление нужно увеличить. Когда на экране осциллографа будет виден лишь излучаемый в кабель сигнал генератора без отраженного сигнала, то величина сопротивления нагрузочного резистора на противоположном конце кабеля будет равна волновому сопротивлению кабеля.

Этим простым способом можно быстро и точно определить, какое сопротивление имеет концентрический кабель - 50 или 75 Ом.

При несогласовании на удаленном конце кабеля также даст о себе знать возможное отражение, связанное с несогласованным выходным сопротивлением генератора. Процесс, показанный на **фото 9**, происходит, когда выходное сопротивление генератора 2,2 кОм, а дальний конец кабеля находится в разомкнутом состоянии.

Исследовали 50-омный кабель длиной 6,88 м. В такой ситуации двухстороннего несогласования импульс отражается многократно от обоих концов кабеля, и процесс имеет форму гребня. На **фото 10** показана ситуация, когда выходное сопротивление генератора было близким к нулю (точка А соединена с выходом DD1.1...DD1.3, минуя сопротивления), а противоположный конец кабеля имел короткое замыкание. Образовавшийся гребень позволяет оценить величину потерь в кабеле. Чем больше потерь в кабеле, тем меньше очередной отраженный импульс от предыдущего. Таким способом можно сравнивать и выбирать из кабелей одинаковой длины кабель, который будет минимально гасить сигнал ВЧ.

Описанный прибор может оказать неоценимую пользу при поиске повреждений в кабельных сетях, например, компьютерных сетях LAN. Когда все концы кабеля полностью согласованы, в кабеле не должно происходить отражений сигнала. Каждое короткое замыкание, обрыв и даже неоднородность в кабеле приведет к появлению в нем отражений импульсов, полярность которых и запаздывание относительно импульса генератора указывает на характер повреждений и расстояние от генератора.

Зная скорость распространения волны в кабеле, можно рассчитать его длину или расстояние до места повреждения на основе времени задержки отраженного импульса (1 мкс отступа между импульсами указывает, что кабель имеет 100...110 м длины или же на таком расстоянии от начала имеется повреждение).

Так как скорость распространения волны различна в разных типах кабелей, полученная точность зависит от знания этой скорости. На практике это означает, что вначале нужно провести измерения скорости распространения волн в разных типах кабелей известной длины с большой точностью.

Параметры и физические процессы

При работе на постоянном токе или низких частотах ос-

затухание. В технике ВЧ используются провода, которые имеют оптимальные свойства в заданном диапазоне частот (точно определено волновое сопротивление, небольшое затухание и устойчивость к помехам).

С помощью кабельного радара можно легко измерить волновое сопротивление кабеля. К свободному концу последнего по очереди подсоединяют резисторы с разными сопротивлениями до тех пор, пока на экране осциллографа не получат процесс без отраженного сигнала. Если при подключенном резисторе отраженный сигнал имеет положительную полярность, то величину сопротивле-

новным параметром кабеля является сопротивление жил, которое можно измерить омметром. В тонких кабелях длиной в несколько метров сопротивление жил не превышает 1 Ом. Другим параметром кабеля, достаточно важным в диапазоне низких частот, является емкость. Речь идет о емкости между жилами, которая в зависимости от типа кабеля может иметь значение 10...100 пФ/м. Эту емкость можно легко измерить с помощью измерителя емкости. Отрезок кабеля, подключенного к измерителю, ведет себя на низких частотах как небольшой конденсатор.

Так же можно измерить индуктивность одной либо двух жил отрезка кабеля для низкочастотных процессов. Индуктивность кабеля длиной в несколько метров невелика (несколько мкГн) и не имеет практического значения на низких частотах.

На **рис.4** показана эквивалентная схема кабеля для низкочастотных процессов. Явление, происходящее при подключении к двум жилам кабеля источника постоянного или переменного (низкочастотного) тока, легко объяснимо. Когда кабель имеет разрыв на противоположном конце, протекание постоянного тока невозможно. Соответственно, через емкость между жилами кабеля может протекать небольшой переменный ток. В случае, когда противоположный конец кабеля имеет короткое замыкание, протекает ток КЗ, величина которого определяется величиной сопротивления жил кабеля и сопротивлением внешнего источника питания.

На высоких частотах физические процессы и свойства кабеля резко отличаются от рассмотренных ранее. Источник сигнала уже "не видит" кабель как конденсатор небольшой емкости, он становится волноводом, а не обычным проводом. Волна высокой частоты будет отражаться от препятствий в кабеле. На **рис.5** показана эквивалентная схема кабеля для высокочастотных процессов.

Описанный прибор позволяет воочию убедиться в наличии отражений импульсного сигнала от неоднородностей в кабеле. От препятствий также отражается и непрерывный синусоидальный сигнал - создается эффект стоящей волны.

Если кабель разомкнут на конце и в такой кабель послать короткий импульс, то этот импульс отразится от разомкнутого конца кабеля и через некоторое время возвратится на вход. Если бы кабель не имел потерь, отраженный импульс имел бы такой же уровень, что и излученный (см. **рис.6**). Идеальных кабелей нет, они обладают сопротивлени-

ем, и отраженный импульс всегда будет меньшим за излученный.

В случае, когда кабель на конце имеет короткое замыкание, произойдет отражение импульса, который будет иметь противоположную полярность (**рис.7**).

Стоит отметить, что посыпаемый в кабель импульс имеет некоторую энергию. В случае обрыва на противоположном конце или короткого замыкания вся энергия возвращается ко входу.

Когда на удаленном конце кабеля подключен нагрузочный резистор R_h (**рис.8а**), результат отражения импульса будет зависеть от величины сопротивления этого резистора. В случае, когда R_h имеет большое сопротивление, произойдет частичное отражение импульса (**рис.8б**). Когда R_h очень малое, произойдет частичное отражение импульса обратной полярности (**рис.8в**). Если $R_h = R_o$, т.е. равно волновому сопротивлению кабеля, отражения импульса не будет (**рис.8г**) - произойдет передача энергии импульса нагрузочному резистору. Таким образом, несогласование концов кабеля приводит к отражениям сигнала.

Для работы на ВЧ или с сигналами малой длительности используют коаксиальный кабель. Внутренняя жила отделена слоем изоляции от внешней, выполненной в виде оплетки (сетки). Такое устройство минимизирует влияние внешних помех и предотвращает излучение энергии наружу.

Волновое сопротивление коаксиального кабеля зависит от соотношения диаметров внутренней и внешней жил и от свойств диэлектрика и обычно составляет 20...150 Ом. Чаще встречаются кабели 75- и 50-омные. Имеются также симметричные (пло-

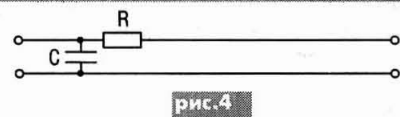


рис.4

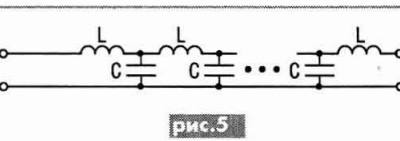
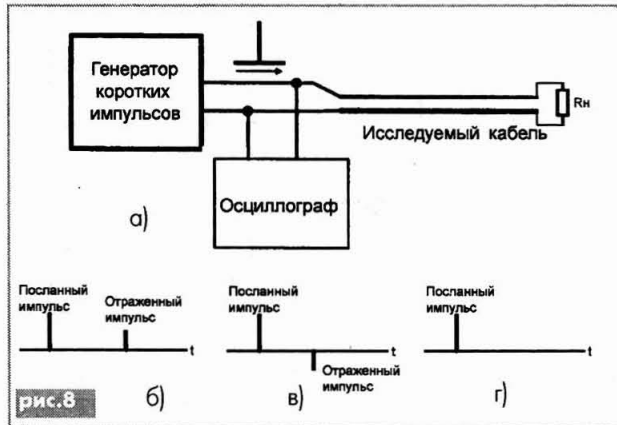
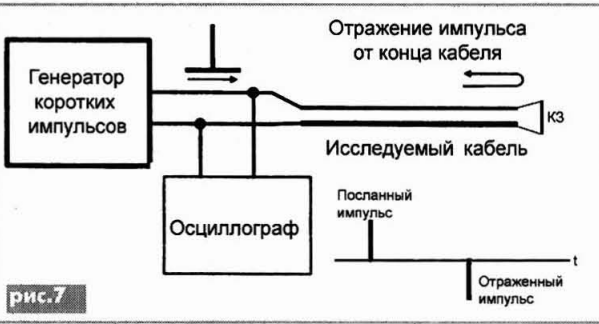
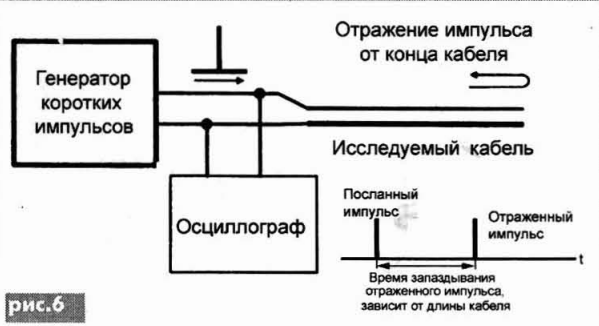


рис.5



ские) кабели, обладающие сопротивлением в границах от 70 Ом до 1 кОм.

Для передачи энергии сигнала по кабелю с минимальными потерями его следует согласовывать на обоих концах. Это очень важно при приеме и передаче слабых сигналов по антенному кабелю. Следует заметить, что даже в случае двустороннего согласования в нагрузку поступит только половина мощности, созданной источником (остаток выделяется на сопротивлении источника), в других случаях намного меньше.

Другая немаловажная деталь, о которой следует вспомнить,

- затухание импульса в кабеле. В обычном кабеле часть энергии тратится и выделяется в качестве тепла. Очевидно, чем длиннее кабель, тем большее затухание в нем, которое также зависит от строения кабеля и используемого диэлектрика.

В зависимости от применения и рабочей частоты, необходимо использовать кабель с наименьшим затуханием. Например, для питания антенны системы GSM, размещенной на крыше дома, необходим коаксиальный кабель диаметром 5 см.

В качестве диэлектрика в кабелях используют полиэтилен, искусственную пену. В коаксиальных кабелях с малыми потерями в качестве диэлектрика используется воздух, а средняя жила поддерживается с помощью специальных креплений, расположенных на равной дистанции друг от друга.

Следует отметить, что скорость распространения волн в кабеле значительно меньше скорости распространения света. Она, в основном, зависит от применяемого диэлектрика и обычно составляет 60...70% скорости света в вакууме. В среднем принимают, что скорость распространения электромагнитной волны в кабеле равняется около 195000 км/с.

Для расчета длины волны можно воспользоваться формулой $\lambda = v/f$, где v - скорость волны, f - частота.

Например, для аудиосигналов с наибольшей частотой 20 кГц длина волны будет равна около 10 км. Если подключенный кабель имеет длину даже сотни метров, в нем не возникнут волновые процессы.

Барометр

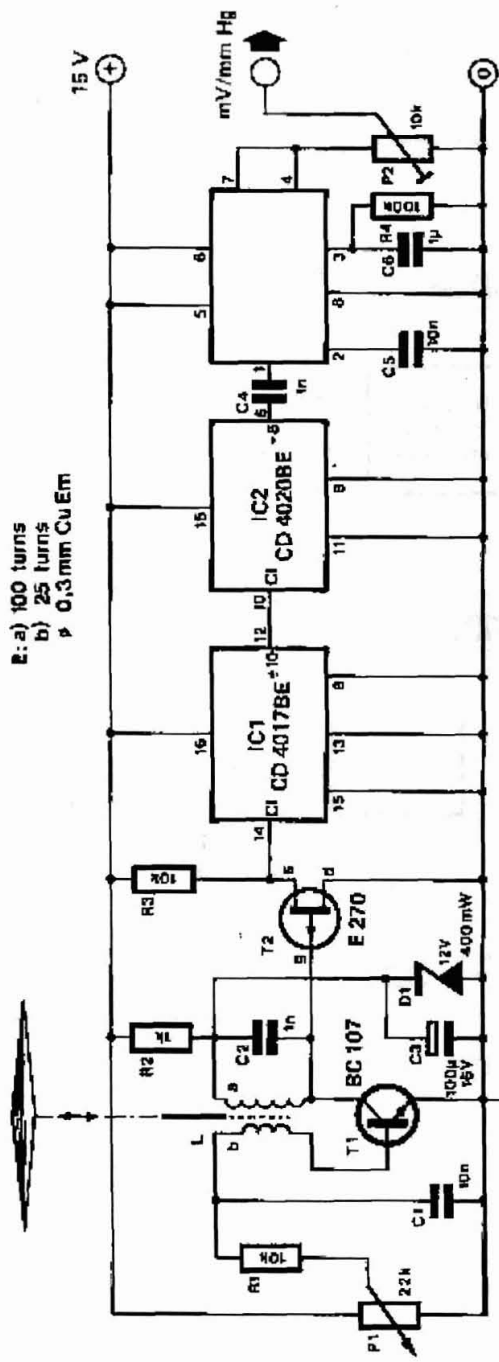
Атмосферное давление - одна из тех величин, которую трудно измерить с помощью электроники. Так как очень сложно сделать достаточно чувствительный датчик для атмосферного давления, то Ю. Нийсен (Англия) использовал в своем проекте обычный механический барометр, к которому он подключил электронное устройство.

К подвижной части барометра (вакуумная гофрированная коробочка, чувствительная к атмосферному давлению) он присоединил ферритовый стержень катушки. Таким образом, изменения атмосферного давления приводят в движение стержень, который, перемещаясь в сердечнике катушки, изменяет ее индуктивность. Эта катушка является частью цепи LC-генератора, поэтому частота колебаний будет зависеть от атмосферного давления.

Колебания с генератора, через буферный каскад на полевом транзисторе T2, поступают на десятичный счетчик IC1, и далее на счетчик IC2, выполняющий деление на восемь. Такое уменьшение частоты колебаний необходимо для корректной работы преобразователя LM 2907 IC3, который преобразовывает частоту в напряжение. Соответственно на выходе микросхемы преобразователя напряжение будет изменяться в зависимости от атмосферного давления.

По очевидным причинам эта система может работать с разумной линейностью лишь в ограниченном диапазоне. К счастью, атмосферное давление изменяется незначительно ($\pm 5\%$).

Один единственный орган регулировки в устройстве - потенциометр P1. Первоначально, потенциометром P1, добиваются запуска генератора, тог-



да на выходе устройства появится напряжение. Если частотный диапазон генератора будет выходить за пределы конвертера частота-напряжение, его нужно исправлять с помощью потенциометра Р1. Если требуется значительное изменения частоты колебаний генератора, тогда необходимо изменить емкость конденсатора С2.

Подстроенный резистор Р2 используется для регулировки выходного уровня для цифровых или аналоговых устройств.

От редакции. На первый взгляд кажется, что нет большого эффекта в демонтаже существующего барометра, чтобы подсоединить электрический указатель вместо механического. Однако, наличие электрического напряжения, которое пропорционально атмосферному давлению, открывает целый ряд возможностей. Например, можно оцифровать напряжение и передать данные на компьютер, и, если дополнить его программным обеспечением с обработкой результатов, то получится автоматизированная метеорологическая система.

Основи електроніки

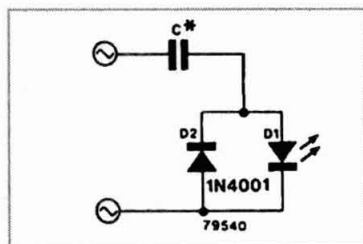
Светодиодный индикатор сети

При выборе светового индикатора сетевого напряжения разработчик электронной аппаратуры может воспользоваться одним из трех основных вариантов, т.е. может применить неоновую лампу, лампу накаливания или светодиод. Преимущества неоновой лампы - возможность непосредственного подключения к электросети переменного тока и малое потребление мощности. Для установки лампы накаливания необходим понижающий трансформатор, т.е. обеспечивается только косвенный признак наличия сетевого напряжения, и, как правило мощность рассеивания больше, чем у неоновой лампы.

Использование светодиода - идеальная альтернатива обоим вышеупомянутым подходам, так как он имеет значительно больший срок службы чем неоновая лампа или лампа накаливания. Мощность рассеивания светодиода не больше 20...30 мВт.

Так как светодиод - маломощный элемент, его необходимо защитить от больших токов. Один из вариантов защиты заключается в использовании последовательного резистора при напряжении сети, например, 240 В, при этом его мощность рассеивания будет около 3,5 Вт. Другой вариант показан на **рисунке**. Ток через светодиод ограничивается не сопротивлением гасящего резистора, а реактивным сопротивлением конденсатора. Преимущество этого метода состоит в том, что на конденсаторе не рассеивается мощность, так как ток, проходящий через него, на 90° не совпадает по фазе с приложенным к нему напряжением. Формула для вычисления мощности рассеивания для напряжения переменного тока:

$$P_c = i \cdot u_c \cdot \cos\phi.$$



Сдвиг фазы на 90°, который имеет место на конденсаторе, приводит к нулевому рассеиванию мощности (т.к. $\cos 90^\circ = 0$) $P_c = 0$.

Емкость конденсатора С может быть вычислена для любого данного напряжения, частоты и тока при помощи следующего уравнения:

$C = i / (6.28 \cdot u \cdot f)$, где
С - емкость в фарадах, u - среднеквадратичное значение напряжения, f - частота сети в Гц, i - ток через светодиод в амперах.

При напряжении сети 240 В и частоте 50 Гц для тока 20 мА самый близкий подходящий номинал конденсатора - 330 нФ. Рабочее напряжение конденсатора должно быть по крайней мере в два раза больше напряжения сети.

Диод D2 включен для защиты светодиода от чрезмерных обратных напряжений.

